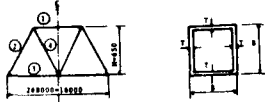


長崎大学 工学部 正員 小西保則
 長崎大学 工学部 学生員 桑野信治
 長崎大学 工学部 学生員 西原晋明

1. 概要

構造物が長大化し複雑になると変数・制約条件式共にその数は多くなる。そこで Suboptimization によれば変数・制約条件式の数を減らすことが出来るることはすでに述べた。¹⁾ Suboptimization の方法として一部材要素の最適値を求める必要があるが、1本の部材、特に圧縮材の最適値を求める手法として最も計算時間が少なくて且つ精度の高い手法を選ぶ必要がある。又許容圧縮応力度は昭和55年2月改訂され、従来は局部座屈が生じない様板幅と板厚の比が制限されていたが、局部座屈を考慮して許容圧縮応力度を遮減することになった。従って目的関数として重量を選ぶ場合でも、設計変数として断面積ではなく、板厚・板幅を考慮しなければならない。

手法の比較最適設計例として図-1に示す連続トラスの④部材について正方形断面を仮定して、SLP法(数値微分した場合、偏微分した場合、変数交換した場合)、SUMT法(Fibonacci 探索法、二次式近似法)の各手法について比較した。



2. ト拉斯圧縮部材の最適設計

設計変数は部材断面幅Bと板厚Tの2変数とする。制約条件式は応力制限式、図-1 ト拉斯一般図及断面図細長比 $\frac{L}{T}$ が120以下²⁾、板幅と板厚比が80以下³⁾、設計変数の上下限制限 $84 \sim 97$ とする。図-2に目的関数等高線図と設計空間、図-3には応力の制約条件、目的関数等高線と断面積Aの関係図を示す。これによると COST を目的関数として選んだ場合①が最も最適値である。 $(B-2T)/T = 29.1$ と応力の制約条件式の差異が最も大きいといえる。すなはち局部座屈を考慮する必要のない板幅と板厚の比が29.1の時は最適値である。図3によると断面積 $A = 1540 \text{ cm}^2$ の線の①との接点②は①と可成異なり、圧縮部材の最適値は Fully Stressed 状態になつてこれが全応力設計では必ずしも最適値を得られないことに注意すべきである。目的関数は COST を計算する。鋼材は SMM 58 を使用し鋼材費、溶接費の係数は T の関数として(1), (2)式で計算する。目的関数乙は(3)式で図-2 目的関数等高線図と設計空間示される。CM は鋼材単価で 80.4 円とする。

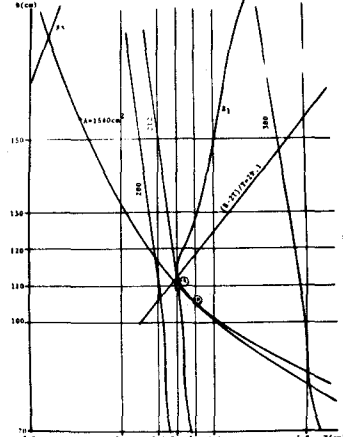
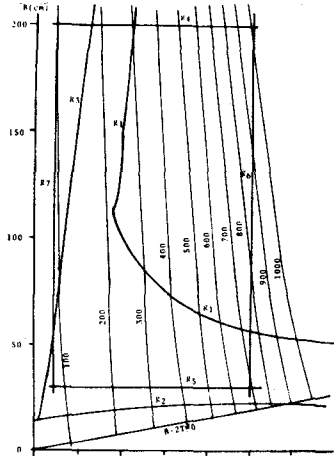


図-3 応力制約条件式、目的関数値と
断面積との関係図

(1) SLP法(反復線形計画法, Sequence of Linear Programming Method)
 制約条件式、目的関数をテーラー展開して線形化するがその際に直線化による方法(Case 1)、偏微分式による方法(Case 2)、および文献2)の変数交換による方法(Case 3) すなはち $x = x_0 + \Delta x$, $y = \frac{x}{x_0}$ --- (4)

とおくと $y = 1 + \Delta X/X_0$ ----- (5) 又上下限制限は

$X^L/X_0 \leq y \leq X^U/X_0$ ----- (6), $1 - \beta \leq y \leq 1 + \beta$ ----- (7) のどちらからである。故に $y^L = \max\left\{\frac{X^L}{X_0}, (1-\beta)\right\}$, $y^U = \min\left\{\frac{X^U}{X_0}, (1+\beta)\right\}$ ----- (8) となる。

$y^* = y - y^L$ とおくと $X = X_0(y^* + y^U)$ ----- (9) である。これより $0 \leq y^* \leq y^U - y^L$ ----- (10) となる。ここで上下制約条件式は設計変数1個につきただ1個となる。ここで X_0, X^U, X^L は整数の初期値、上限および下限値である。そこで制約条件式・目的関数は次のようになる。

$$g(X_0, y^*) = g(X_0) - \nabla g\{X_0(y^* - 1)\} ----- (11)$$

$f(X) = f(X_0) + \nabla f\{X_0(y^*)\} + \nabla f\{X_0(y^* - 1)\}$ ----- (12)

$\nabla g, \nabla f$ は制約条件式 g 、目的関数 f を X で偏微分した微係数である。SLP法より収束状態を図-4に示す。

(2) SUMT法(制約最適化反復法, Sequence of Unconstrained Minimization Technique) 図-4 SLP法による収束状態の図

制約条件式のある問題をSUMT変換して制約条件式のない問題とし、無制約関数としての罰金関数の最適値を求める。この場合 Davidon-Fletcher-Powell の手法を用いる。1次元探索の方法としては Fibonacci 探索法 (case 4, 5) と2次式近似法 (Case 6, 7)³⁾ を用いた。SUMT変換の罰金項の係数を R_K とした時 $R_K = 0.02$ の場合の設計空間の図を図-5に示す。

SLP法、SUMT法のそれぞれの Case について、変数の値 B, T 、罰金関数の値 Z 、繰り返し回数 N_{it} (SUMTの場合は R_K が変化した場合の繰り返し回数 S, R_K 一定の場合の繰り返し回数 Z)、収束判定値 $Eps 1, 2, 3$ 、CPU Time、 β の値 A_1 、テーラー展開の位置 $+ \Delta X, - \Delta X$ の値 ($A_1 \times A_2$ で示す) の比較表を表1に示す。

4. 結論

結論として次の事が明らかになった。(1) 壓縮柱の場合設計変数として断面積のみでは不十分で少なくとも板厚、板幅を変数とする必要がある。(2) 目的関数に重量を用いた場合でも圧縮部材については全応力設計では必ずしも最適値は得られない。(3) SLP法とSUMT法を比較した場合 SLP法がSUMT法より計算時間も短かく、収束もよい。図-4、図-5に示すようにSUMT法は真の最適値に収束し難いが、SLP法は繰り返しが当初は応力制約条件式 $g_i = 0$ に対して領域からはずれ出しているが最適点ではほとんど $g_i = 0$ 上に収束している。(4) SLP法でも数值微分による場合と偏微分式を用いた場合ではほとんど相違なく数值微分を用いて十分と思われる。(5) SUMT法が一方方向探索として2次式近似法が Fibonacci 法より計算時間が少なく前者の方がよい。(6) 現在 PGM法(投影傾斜法)、FDM法(可能方向法)を用いて本研究の例題を計算中であるが、SLP法、PGM法は領域外にはみ出さずでFDM法の方が多い優れてるものと思われる。

参考文献

- (1) 小西保則、馬場雅彦、山下正人：不等式構造物の Suboptimization による最適設計、土木学会昭和55年度西部支部学術講演会講演概要集、PP.9 - PP.10, 1981年。
- (2) 前田草雄、林正、坂本良文：SLP法による骨組構造物の最適設計、JSSC, 第15回大会研究集会、ストリックス解析法研究発表論文集、1981年。
- (3) JSSC：最適化手法の構造設計・解析への応力、培風館、PP.15 - PP.16, 1980年。

表-1 トス圧縮部材の最適値比較表

	B (cm)	T (cm)	Z	N_{it}	S	R_K	$Eps 1$	$Eps 2$	$Eps 3$	A_1	A_2
1	1.0	1.0	121.49	22	0.01	0.01	0.94	0.1	0.1	0.1	0.1
2	1.0	1.0	121.49	22	0.01	0.01	0.94	0.1	0.1	0.1	0.1
3	1.0	1.0	121.49	22	0.01	0.01	0.94	0.1	0.1	0.1	0.1
4	1.0	1.0	121.49	22	0.01	0.01	0.94	0.1	0.1	0.1	0.1
5	1.0	1.0	121.49	22	0.01	0.01	0.94	0.1	0.1	0.1	0.1
6	1.0	1.0	121.49	22	0.01	0.01	0.94	0.1	0.1	0.1	0.1
7	1.0	1.0	121.49	22	0.01	0.01	0.94	0.1	0.1	0.1	0.1
8	1.0	1.0	121.49	22	0.01	0.01	0.94	0.1	0.1	0.1	0.1
9	1.0	1.0	121.49	22	0.01	0.01	0.94	0.1	0.1	0.1	0.1
10	1.0	1.0	121.49	22	0.01	0.01	0.94	0.1	0.1	0.1	0.1

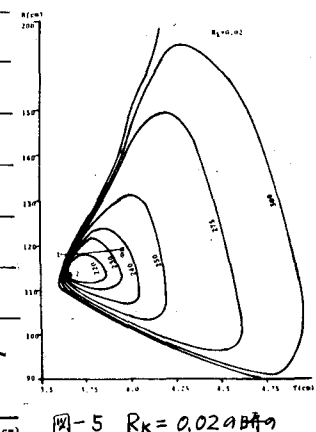


図-5 $R_K = 0.02$ の時の
設計空間